

Учреждение образования  
«БЕЛОРУССКИЙ ГОСУДАРСТВЕННЫЙ УНИВЕРСИТЕТ  
ИНФОРМАТИКИ И РАДИОЭЛЕКТРОНИКИ»  
Кафедра информатики

Отчет по лабораторной работе №15

Метод сеток решения задачи Дирихле для уравнения Пуассона

Выполнил:  
студент гр. 953501  
Кореневский С. А.

Руководитель:  
доцент  
Анисимов В. Я

Минск 2021

## **Содержание**

|                                 |    |
|---------------------------------|----|
| 1. Цель работы.....             | 3  |
| 2. Теоретические сведения ..... | 3  |
| 3. Программная реализация.....  | 9  |
| 4. Выводы.....                  | 12 |

## Цель работы:

1. Изучить метод разностных аппроксимаций для уравнения Пуассона;
2. Составить алгоритмы решения задачи Дирихле для уравнения Пуассона методом сеток применимыми для организации вычислений на ПЭВМ;
3. Составить программы решения задачи Дирихле для уравнения Пуассона по разработанным алгоритмам;
4. Выполнить тестовые примеры и проверить правильность работы программ;
5. Получить численное решение заданной задачи Дирихле для уравнения Пуассона.

## Краткие теоретические сведения:

Пусть  $D = \{(x, y): 0 < x < 1, 0 < y < 1\}$  – открытый квадрат,  $\Gamma$  – его граница,  $\bar{D} = D \cup \Gamma$  – замкнутый квадрат,  $f(x, y)$  – заданная на  $\bar{D}$  достаточно гладкая функция. Задача Дирихле состоит в следующем. Требуется найти непрерывную на  $\bar{D}$  функцию  $u(x, y)$ , удовлетворяющую на открытом квадрате  $D$  уравнению Пуассона

$$-\Delta u \equiv -\left(\frac{\partial^2 u}{\partial x^2} + \frac{\partial^2 u}{\partial y^2}\right) = f(x, y) \quad (2.48)$$

и принимающую на границе квадрата значение равное нулю, т. е.

$$u(x, y) = 0 \quad \text{на } \Gamma. \quad (2.49)$$

Задача Дирихле (2.48), (2.49) имеет единственное решение  $u(x, y)$ . Положим  $h = l/N$ ,  $x_k = kh$ ,  $y_m = mh$ ,  $f_{km} = f(x_k, y_m)$ . Построим сетки

$$\omega_h = \{(x_k, y_m): k, m = 0, 1, \dots, N\},$$

$$\omega'_h = \{(x_k, y_m): k, m = 1, 2, \dots, N-1\},$$

$\omega_h^* = \omega_h \setminus \omega_h'$  ( $\omega_h^*$  — множество узлов, лежащих на  $\Gamma$ ). Зададим нормы

$$\|v\|_h = \max_{\omega_h} |v_{km}|, \quad \|v\|_h' = \max_{\omega_h'} |v_{km}|.$$

**Разностная схема:**

$$\Delta v_{km} = f_{km}, \quad k, m = 1, 2, \dots, N-1, \quad (2.50)$$

$$v_{km} = 0 \quad \text{на} \quad \omega_h^*, \quad (2.51)$$

Разностное уравнение (2.50) в более подробной записи имеет вид

$$-\frac{v_{k-1,m} - 2v_{km} + v_{k+1,m}}{h^2} - \frac{v_{k,m-1} - 2v_{km} + v_{k,m+1}}{h^2} = f_{km}. \quad (2.52)$$

Его шаблон изображен на рис. 2.6

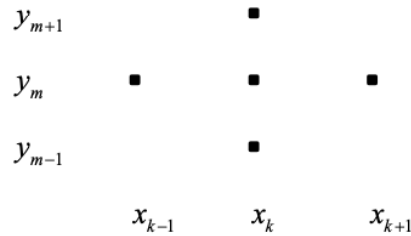


Рис. 2.6

Решение  $v$  разностной задачи Дирихле находится методом последовательных приближений по схеме переменных направлений, где  $f_{km}^{v-1/2} = f(x_k, y_m)$ ,  $v_{km}^0$  — произвольные. Можно доказать, что  $\lim_{v \rightarrow \infty} v_{km}^v = v_{km}$ ,  $k, m = 1, 2, \dots, N-1$ , при любых начальных приближениях  $v_{km}^0$ , причем наибольшая скорость сходимости достигается при  $\tau \approx h/\pi$ . Здесь положена в основу идея о стабилизации при  $t \rightarrow +\infty$  решения уравнения теплопроводности к решению уравнения Пуассона, если  $f$  не зависит от  $t$ .

Разностная схема (2.51), (2.52) устойчива по правой части, т. е. разностная задача

$$\Delta z_{km} = \xi_{km}, \quad k, m = 1, 2, \dots, N-1,$$

$$z_{km} = 0 \quad \text{на} \quad \omega^*$$

при любом  $h = 1/N$ ,  $N \geq 2$ , имеет единственное решение  $z$  и это решение удовлетворяет неравенству

$$\|z\|_h \leq c \|\xi\|_h', \quad (2.53)$$

где  $c$  – некоторая постоянная, не зависящая от  $h$  и сеточной функции  $\xi$ .

Предположим, что решение задачи Дирихле (2.48), (2.49) достаточно гладкое на замкнутом квадрате  $\bar{D}$ , а именно,  $u(x, y) \in C_4(\bar{D})$ . Тогда разностное уравнение (2.51) аппроксимирует дифференциальное уравнение (2.48) на решение задачи (2.48), (2.49) со вторым порядком относительно  $h$ , т. е.

$$\|\psi\|_h' = O(h^2), \quad (2.54)$$

где

$$\psi_{km} = \Lambda u_{km} - f_{km}, \quad (2.55)$$

есть невязка для разностного уравнения. При получении оценки (2.54) используется тот факт, что частным производным  $u''_{xx}$  и  $u''_{yy}$ , входящим в уравнение (2.48), в разностном уравнении (2.52) отвечают вторые разностные производные, аппроксимирующие указанные частные производные с точностью второго порядка по  $h$ . Поскольку краевое условие (2.49) аппроксимируется на сетке  $\omega_h^*$  согласно (2.53) точно, то из (2.54) и устойчивости разностной схемы (2.50), (2.52) по правой части вытекает сходимость ее решения  $v$  к решению  $u \in C_4(\bar{D})$  задачи (2.48), (2.49) со вторым порядком относительно  $h$ , т. е.

$$\|u - v\|_h = O(h^2). \quad (2.56)$$

Действительно, из уравнения (2.52), равенства (2.56) и условий (2.49), (2.53) вытекает, что погрешность  $r = u - v$  на сетке  $\omega_h$  является решением разностной задачи

$$\Lambda r_{km} = \psi_{km}, \quad k, m = 1, 2, \dots, N-1,$$

$$r_{km} = 0 \text{ на } \omega_h^*.$$

Отсюда и из (2.54), (2.55) следует (2.56). Разностная схема (2.50), (2.52) обладает вторым порядком точности.

### Случай произвольной области.

Рассмотрим задачу Дирихле

$$-\Delta u(x, y) = f(x, y) \quad \text{на } G, \quad (2.57)$$

где

$$u(x, y) = \varphi(x, y) \quad \text{на } \Gamma, \quad (2.58)$$

где  $G$  – некоторая конечная область (рис.2.7),  $\Gamma$  – граница области  $G$ ;  $f(x, y)$  – заданная на области  $G$  функция;  $\varphi(x, y)$  – заданная на границе  $\Gamma$  функция.

Строится, как и ранее, квадратная сетка с шагом  $h$ . Во всех расположенных в области  $G$  узлах сетки, которые можно соединить с четырьмя ближайшими узлами отрезками прямых, не пересекая границу  $\Gamma$ , разностное уравнение задается в следующем виде:

$$\Lambda v_{km} = f_{km}, \quad (2.59)$$

где  $\Lambda$  – оператор (2.52). Указанные узлы обозначены на рис. 2.7 точками. Шаблон разностного уравнения (2.57) показан на рис. 2.6. В узлах, находящихся в области  $G$  вблизи ее границы  $\Gamma$  (отмеченных на рис. 2.7 треугольниками), для задания разностных уравнений применяется линейная интерполяция в направлении оси  $x$  или оси  $y$ . Например, в точке с номером 0 уравнение имеет вид

$$v_0 = \frac{\rho_1}{\rho_1 + \rho_2} v_2 + \frac{\rho_2}{\rho_1 + \rho_2} \varphi_1, \quad (2.60)$$

где  $\rho_1$  – расстояние от точки 0 до точки 1 на границе  $\Gamma$ , в которой берется заданное значение функции  $\varphi$ , обозначенное через  $\varphi_1$ ;  $v_0, v_2$  – неизвестные в точках 0, 2;  $\rho_2 = h$  – расстояние между этими точками.

Здесь для простоты используется один индекс. Формула (2.60) означает линейную интерполяцию между точками 1, 2 в точку 0.

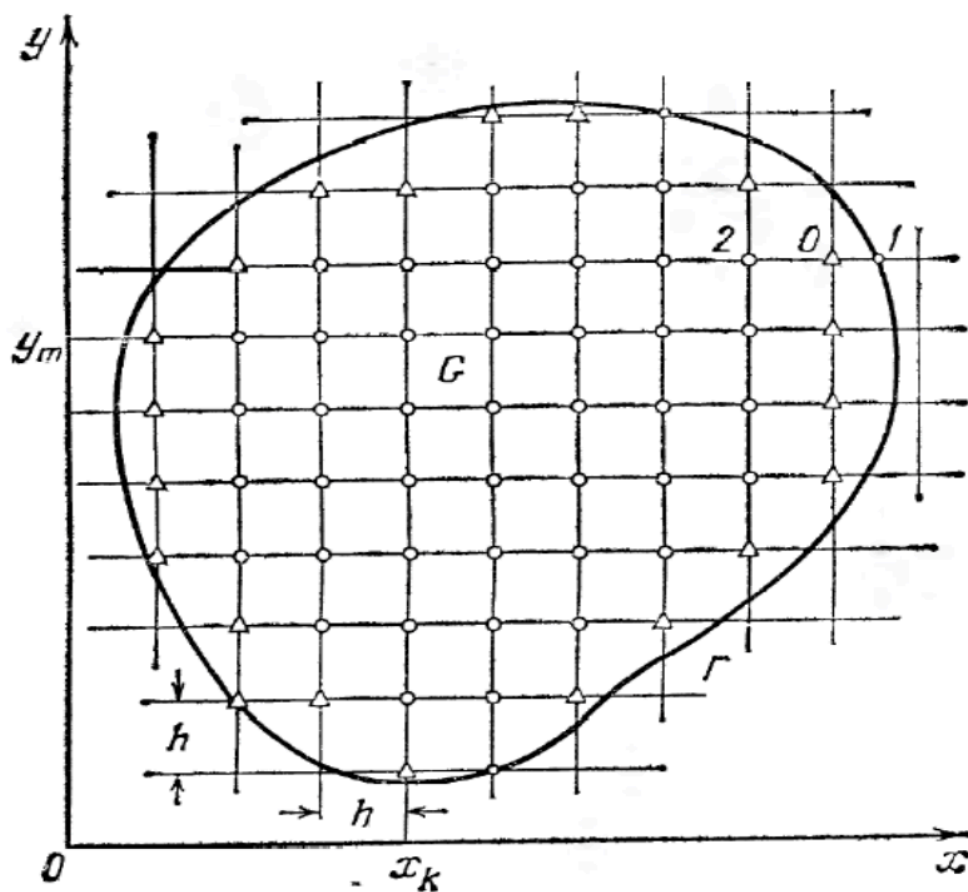


Рис. 2.7.

Аналогично разностные уравнения задаются в остальных узлах, обозначенных треугольниками. При этом расстояния от точки, в которую производится интерполяция, до обеих крайних точек не должны превышать  $h$  и одна или обе крайние точки должны лежать на границе  $\Gamma$ . Уравнения (2.59), имеющие более подробную запись (2.52), разрешим относительно  $v_{km}$ :

$$v_{km} = \frac{v_{k-1,m} + v_{k+1,m} + v_{k,m-1} + v_{k,m+1}}{4} + \frac{h^2}{4} f_{km}. \quad (2.61)$$

Итак, в каждом узле, обозначенном кружком, задано уравнение (2.61), а в каждом узле, отмеченном треугольником, уравнение имеет вид (2.60). Общее число уравнений совпадает с числом неизвестных. Полученная система линейных алгебраических уравнений имеет единственное решение  $v$ ,

для нахождения которого могут быть применены методы простых итераций и Зейделя.

Если  $u(x, y) \in C_4(\bar{G})$ , решение задачи Дирихле то справедлива оценка

$$\max_{G_h} |u - v| = O(h^2), \quad (2.62)$$

где  $G_h$  – множество всех узлов, обозначенных кружками и треугольниками.

Решение  $u(x, y)$  принадлежит классу  $C_4(\bar{G})$ , например, если граница  $\Gamma$  обладает трижды непрерывно дифференцируемой производной, функция  $\varphi$  длины  $s$  дуги границы  $\Gamma$  имеет ограниченную пятую производную, а  $f(x, y) \in C_3(\bar{G})$ .

..



### 3. Программная реализация

#### ЗАДАНИЕ К ЛАБОРАТОРНОЙ РАБОТЕ №15

Пластина прямоугольной формы с вырезом на одной из сторон жестко закреплена по краям и равномерно нагружена по площади рис 2.8. Прогиб пластины определяется из уравнения Пуассона. Рассчитать прогиб  $W(x, y)$  по данным, приведенным в табл: 2.11  $A, B$  – размеры пластины;  $h$  – ее толщина;  $R$  – радиус выреза;  $P$  – нагрузка;  $E$  – модуль упругости;  $\nu$  – коэффициент Пуассона. Граничное условие  $W=0$ .

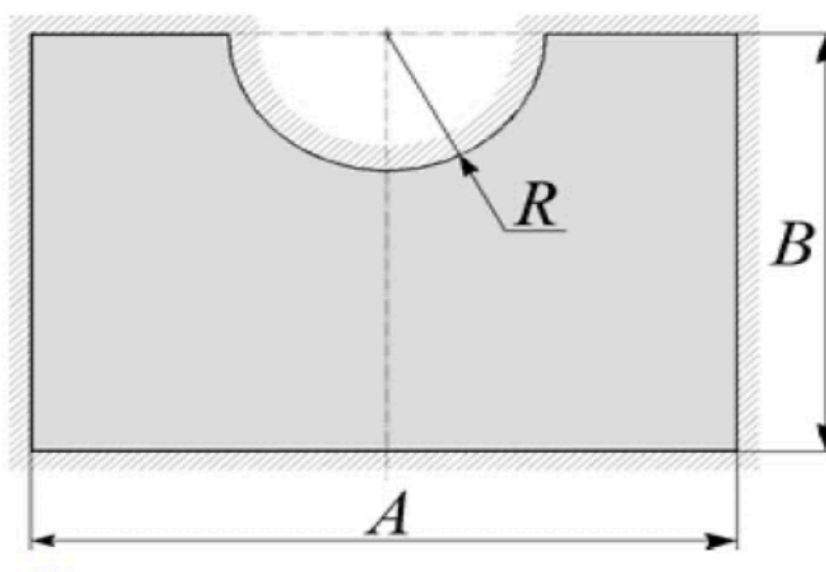


Рис 2.8

$$\left( \frac{\partial^2 w(x, y)}{\partial x^2} + \frac{\partial^2 w(x, y)}{\partial y^2} \right) = P/D,$$

где  $D = Eh^3/[12(1-\nu^2)]$  – изгибная жесткость,  $E$  – модуль упругости,  $h$  – толщина пластины,  $\nu$  – коэффициент Пуассона.

Таблица исходных данных к заданию

| Номер<br>варианта | Параметры   |             |             |             |                  |                        |       |
|-------------------|-------------|-------------|-------------|-------------|------------------|------------------------|-------|
|                   | $A$ ,<br>мм | $B$ ,<br>мм | $R$ ,<br>мм | $h$ ,<br>мм | $P$ ,            | $E$ , Н/м <sup>2</sup> | $\nu$ |
| 5                 | 180         | 90          | 35          | 5           | $110 \cdot 10^9$ | 120                    | 0.3   |

## Результат работы программы:

Требуется следующую промоделировать следующий процесс: пластина прямоугольной формы с вырезом на одной из сторон жестко закреплена по краям и равномерно нагружена по площади рис 2.8. Прогиб пластины определяется из уравнения Пуассона как функция  $W(x, y)$

$$\frac{\delta^2 w(x, y)}{\delta x^2} + \frac{\delta^2 w(x, y)}{\delta y^2} = \frac{P}{D}, \text{ где } D = \frac{Eh^3}{12(1-\nu^2)} - \text{изгибая жесткость, } E - \text{модуль упругости, } h - \text{толщина пластины, } \nu - \text{коэффициент Пуассона.}$$

Также,  $A, B$  – размеры пластины;  $R$  – радиус выреза;  $P$  – нагрузка;  $E$  – модуль упругости; граничное условие  $W = 0$ .

Для решения данного дифференциального уравнения аппроксимируем вторые производные как:

$$\frac{\partial^2 u}{\partial x^2} = \frac{u(x+h, y) - 2u(x, y) + u(x-h, y)}{h^2}$$
$$\frac{\partial^2 u}{\partial y^2} = \frac{u(x, y+h) - 2u(x, y) + u(x, y-h)}{y^2}$$

Тогда, для каждого внутреннего узла составим разностную схему вида:

$$\frac{W_{i+1,j} - 2W_{i,j} + W_{i-1,j}}{h^2} + \frac{W_{i,j+1} - 2W_{i,j} + W_{i,j-1}}{h^2} = \frac{P}{D}$$

Упростим выражение:

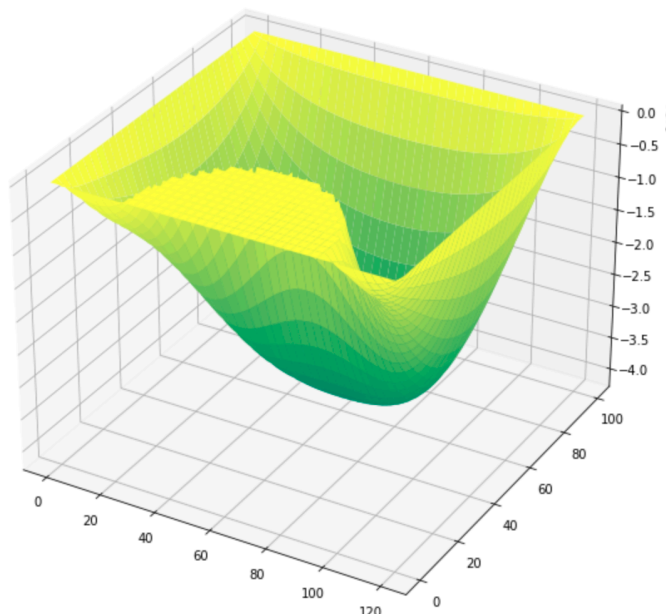
$$W_{i+1,j} + W_{i-1,j} + W_{i,j+1} + W_{i,j-1} - 4W_{i,j} = \frac{Ph^2}{D}$$

Для остальных (граничных и внешних точек) значение  $W_{i,j} = 0$ .

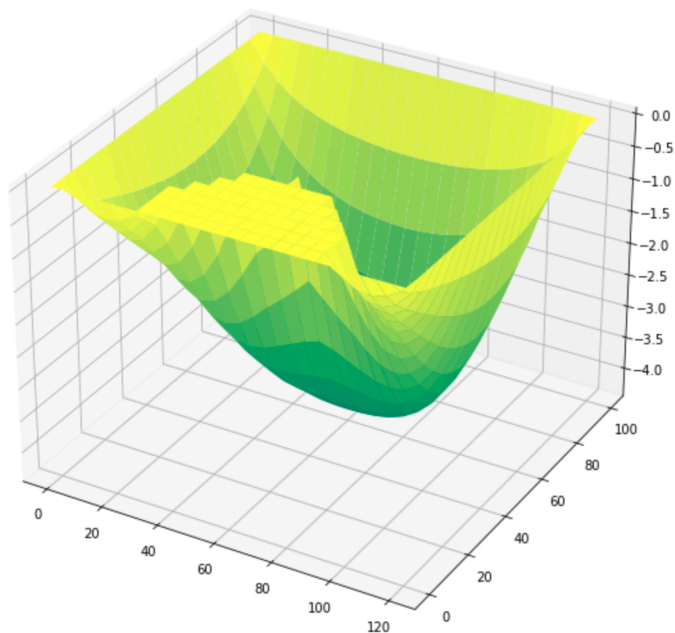
Данную разностную схему можно решать как систему линейных уравнений.

Также будем использовать разреженные матрицы т.к. на одной строке матрицы ненулевыми будут только 5 значений.

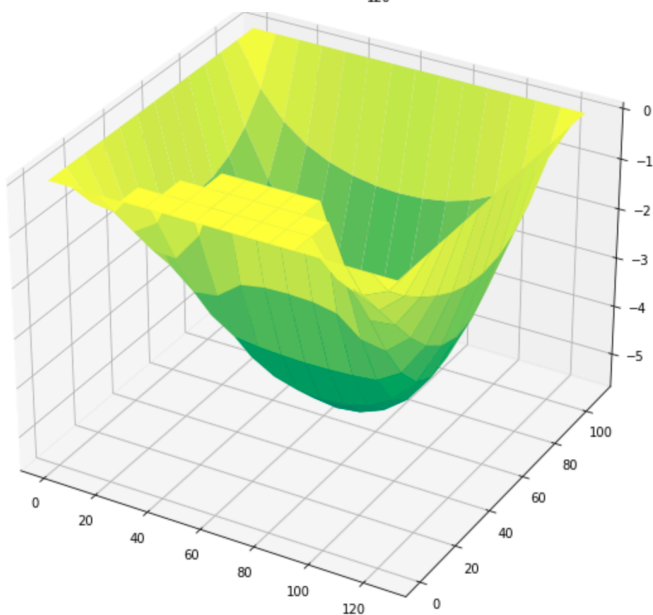
Вычислим решение разностной схемы  
с шагом  $h = 1$ .



Вычислим решение разностной схемы  
с шагом  $h = 5$ .



Вычислим решение разностной схемы  
с шагом  $h = 9$ .



## 4. Выводы

В данной лабораторной работе была разработана программный продукт для решения задачи Дирихле для уравнения Лапласа и проверена корректность работы на примере реального физического процесса.

Также, в ходе работы я изучил зависимость качества аппроксимации функции от шага разностной сетке, а также получил визуальное подтверждение гипотезы в виде графика: при увеличении шага качество аппроксимации функции снижается.

Стоит отметить что, для улучшения скорости выполнения программы, использовались разреженные матрицы.